

Centrale Informatique MPI 2023

Un corrigé

1 Problème du voyageur de commerce

Q 1. Le circuit $\boxed{\text{BCADB}}$ est un circuit hamiltonien visiblement minimal, de poids $1+1+1+2 = \boxed{5}$.

Q 2. Pour $n \geq 3$, à chaque permutation de $\llbracket 1 \dots n \rrbracket$ correspond un circuit; Il y en a donc $n!$ en distinguant le point de départ (n possibilités) et le sens de parcours (2 possibilités). Sans cette distinction, il y en a $2n$ fois moins, soit $\boxed{(n-1)!/2}$.

Tous les circuits sont de poids minimal si toutes les arêtes ont le même poids. En prenant un $\boxed{\text{poids de 1}}$ pour chaque arête, chaque circuit aura un poids n .

Q 3.

```
int poids_chemin(struct Graphe g, struct Chemin c){
    int poids = 0, i, j;
    for(int k=1; k<c.longueur; k++){ // (|c|-1) arêtes
        i = c.l_sommets[k-1];
        j = c.l_sommets[k];
        poids += g.adj[i * g.V + j];
    }
    return poids;
}
```

Le temps d'exécution croît comme la longueur du chemin : $\boxed{T(g, c) = O(|c|)}$.

Q 4. Le problème de Décision du Voyageur de Commerce (DVC dans la suite) se définit ainsi :

- **Instance** : Un graphe non orienté G , un entier s .
- **Question** : Existe-il un circuit hamiltonien de poids p dans G , tel que $p \leq s$?

D'après la question **Q 3**, La vérification d'un chemin se fait en temps polynomial, donc

$$\boxed{\text{DVC} \in \text{NP}}$$

Q 5. Soit la réduction suivante : $I = (G(V, E), a, b)$ étant une instance du problème du chemin hamiltonien (CHH dans la suite), une instance $I' = G'(V', E')$ du problème du cycle hamiltonien (CiH dans la suite) est construite ainsi :

- $V' = V \cup \{z\}$, z étant un nouveau sommet.
- $E' = E \cup \{\{a, z\}, \{b, z\}\}$

Il est clair que le circuit $C' = zav_k \dots v_\ell bz$ est hamiltonien si et seulement si le chemin $C = av_k \dots v_\ell b$ hamiltonien, car bza est le seul moyen de visiter z .

Pour la suite, il faut une réduction polynomiale. La construction précédente se fait clairement en un temps linéaire en $|I|$, donc CHH se réduit pronominalement à CiH :

$$\boxed{\text{CHH} \leq_{\text{P}} \text{CiH}}$$

Q 6. Soit la réduction suivante :

$I = G(V, E)$ étant une instance du problème du cycle hamiltonien, l'instance $I' = (G', s)$ du problème de décision du voyageur de commerce est construite ainsi :

- G' est le graphe complet ayant les mêmes sommets que G .

- le poids de chaque arête a de G' vaut 0 si $a \in E$, et 1 sinon.
- $s = 0$.

Reste à montrer que $\text{CiH}(I) = \text{DVC}(I')$:

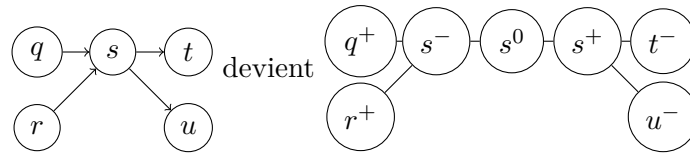
- $\text{CiH}(I) = 1 \implies \text{DVC}(I') = 1$: Si C est un chemin hamiltonien dans G , alors c'est aussi un chemin hamiltonien de G' , de poids nul par construction. donc I' est une instancer positive de DVC.
- $\text{DVC}(I) = 1 \implies \text{CiH}(I') = 1$: Si C est un chemin hamiltonien dans G' de poids nul, alors il ne passe que par des arêtes de poids nul, soit des arêtes de G . donc C est hamiltonien dans G .

Pour la suite, il faut une réduction polynomiale. La construction précédente se fait clairement en un temps quadratique en $|I|$, d'où :

$$\boxed{\text{CiH} \leq_{\mathbf{P}} \text{DVC}}$$

Q 7. Soit $I = (G(V, E), a, b)$ une instance du problème du chemin hamiltonien orienté (CHHO dans la suite). Soit $I' = (G'(V', E'), a^-, b^+)$ l'instance du problème du chemin hamiltonien (non orienté) construite ainsi :

- Pour chaque sommet s de V sont créés trois sommets s^0, s^+ et s^- dans V' , et deux arêtes $\{s^-, s^0\}$ et $\{s^0, s^+\}$ dans E' .
- Pour chaque arc (u, v) de E est créée l'arête $\{u^+, v^-\}$ non orientée dans E' :



Il reste à montrer que $\text{CHHO}(I) = \text{CHH}(I')$:

- Il est clair que si $as_k \dots s_\ell b$ est hamiltonien dans G , alors $a^- a^0 a^+ s_k^- s_k^0 s_k^+ \dots s_\ell^- s_\ell^0 s_\ell^+ b^- b^0 b^+$ est hamiltonien dans G' .
- Si maintenant G' possède un chemin hamiltonien C' allant de a^- à b^+ : En partant de a^- , C' doit continuer par a^0 , sinon ce sommet ne sera jamais visité par la suite. Puis de a^0 il doit atteindre a^+ , car a^0 est de degré 2. Il doit ensuite continuer vers un sommet s_j^- car il n'existe pas d'arête $a^+ s_j^+$ par construction, et le retour sur a^0 est impossible sur un chemin hamiltonien. Le même raisonnement peut se faire à partir de s_j^- : Le chemin est donc une succession de sous-chemins de la forme $s_k^- s_k^0 s_k^+$, soit $a^- a^0 a^+ s_k^- s_k^0 s_k^+ \dots s_\ell^- s_\ell^0 s_\ell^+ b^- b^0 b^+$. Dès lors le chemin $C = as_k \dots s_\ell b$ associé est également hamiltonien dans G .

Cette construction est linéaire en la taille de I , d'où :

$$\boxed{\text{CHHO} \leq_{\mathbf{P}} \text{CHH}}$$

Q 8. Il suffit d' exhiber ces chemins :

1. $e_1 e_2 e_3 s_3 s_2 s_1$.
2. $e_1 s_1$ et $e_2 e_3 s_3 s_2$.
3. $e_1 s_1, e_2 s_2$ et $e_3 s_3$.

Q 9. La question est ambiguë. Une formulation plus explicite est : « Montrer que pour tout **modèle** de la formule, il existe un chemin hamiltonien orienté de v_1 à v_{m+1} dans le graphe G ».

Soit un premier chemin construit en passant pour tout i :

- par le graphe G_i^+ si $x_i = 1$ dans le modèle, ou par le graphe G_i^- si $x_i = 0$;
- par l'arête $e_{p_i} \rightarrow s_{p_i}$ dans chaque A_k .

Comme la formule est satisfaite, toutes les clauses le sont et donc chaque A_k est traversé entre une et trois fois. Il reste alors, en vertu de **Q 8** à réarranger le chemin dans chaque A_k pour passer une et une seule fois par chaque sommet. Le chemin ainsi construit est bien un chemin hamiltonien.

Q 10. La question est ambiguë. Une formulation plus explicite est « Montrer que pour chaque chemin hamiltonien orienté de v_1 à v_{m+1} dans le graphe G , on peut associer un **modèle** pour la formule ».

Comme il ne peut y avoir deux arcs sortants du même sommet sur un chemin hamiltonien, une valuation σ est définie sans ambiguïté ainsi : $\llbracket x_i \rrbracket_\sigma = 1$ si l'arc sortant de v_i emprunte G_i^+ , $\llbracket x_i \rrbracket_\sigma = 0$ s'il emprunte G_i^- . Chaque A_k est ainsi atteint par au moins un arc car le chemin est hamiltonien, et cet arc rend la clause vraie selon σ par construction. Toutes les clauses étant satisfaites, σ est un modèle pour la formule.

Q 11. La construction de graphe proposée étant de complexité $O(mn)$, **Q 9** et **Q 10** permettent d'établir que $\boxed{3SAT \leq_P CHHO}$.

Les questions précédentes permettent finalement de conclure que

$$3SAT \leq_P CHHO \leq_P CHH \leq_P CiH \leq_P DVC.$$

Comme 3SAT est NP-complet, et que de plus $DVC \in NP$ d'après **Q 3** (ainsi que CiH), Il vient :

Les problèmes de décision du voyageur de commerce et du circuit hamiltonien sont NP-complets

Q 12. Le circuit hamiltonien de G est aussi un circuit hamiltonien de G' , de poids n puisque ses n arêtes ont un poids 1 dans G' .

Q 13. Si G ne possède pas de circuit hamiltonien, alors tout circuit hamiltonien C de G' aura au moins une arête qui n'est pas dans G . D'où $\text{poids}(c) \geq (n-1) + n(1+\varepsilon) + 1 = n(2+\varepsilon)$. CQFD.

Q 14. Soit A un éventuel algorithme **polynomial** permettant de trouver une $1+\varepsilon$ approximation de VC. Sur le graphe G' , $p^* = n$, A trouve donc une solution de poids inférieur à $n(1+\varepsilon)$ en temps polynomial. $n(1+\varepsilon) < n(2+\varepsilon)$, donc d'après la contraposée du résultat de **Q 13**, G' possède un cycle hamiltonien. Ceci résout donc un problème de NP en temps polynomial, donc $P=NP$.

Finalement, A existe $\implies P = NP$. Soit, par contraposition :

$P \neq NP \implies$ il n'existe pas de $1+\varepsilon$ approximation au problème du voyageur de commerce

Q 15.

```

struct Arete* liste_arettes(struct Graphe g){
    int n = g.V, k = 0;
    struct Arete* liste = malloc(n*(n-1)/2*sizeof(struct Arete));
    for(int i=0;i<n;i++){
        for(int j=i+1;j<n;j++){
            liste[k].s1 = i;
            liste[k].s2 = j;
            liste[k].p = g.adj[i*n + j];
            k++;
        }
    }
    return liste;
}

```

Q 16. On implémente généralement l'algorithme de KRUSKAL à l'aide d'une structure **union-find** : Sont donc supposées définies `bool find(int i)` et `void union_(int i,int j)` (`union` est réservé en C).

Il vient :

```

struct Graphe kruksal (struct Graphe g){
    int n = g.V;
    struct Graphe gk = alloue_graphe(n);
    int i, j, k = 0;
    for(i = 0; i < n; i++){
        for(j = 0; j < n; j++){
            gk.adj[i*n + j] = 0; //initialisation
        }
    }
    struct Arete* liste = liste_aretes(g);
    tri_aretes(liste, n*(n-1)/2);
    for (int na = 1 ; na < n; na++){ // n-1 noeuds dans l'arbre
        struct Arete a = liste[k];
        i = a.s1;
        j = a.s2;
        if (find(i) != find(j)){
            gk.adj[i*n + j] = a.p;
            union_(i,j);
        }
        k++;
    }
    return gk;
}

```

Q 17. Soit n le nombre de sommets du graphe. Le graphe g est connexe par hypothèse, donc `liste` contient au moins $n - 1$ arêtes.

- kruksal termine en renvoyant un arbre couvrant** : En effet, la boucle `for` continue tant que $n - 1$ arêtes n'ont pas été sélectionnées, qui est exactement le nombre d'arêtes d'un arbre couvrant d'un graphe connexe. Si la liste d'arêtes était épuisée avant la fin de la boucle `for`, c'est qu'au moins une arête ne formant pas de cycle a été omise. Ceci est impossible puisque toutes les arêtes ne formant pas de cycle sont sélectionnées.
- kruksal renvoie un arbre couvrant minimal** : On considère pour cela l'invariant de boucle suivant : « les arêtes sélectionnées sont un sous-ensemble d'un arbre couvrant minimal M de g ». C'est vrai initialement car `gk` est vide au départ. Lorsqu'on ajoute une arête a :
 - Si l'arête est dans M l'invariant est conservé.
 - Sinon $M \cup \{a\}$ possède nécessairement n arêtes et donc un cycle contenant a et une autre arête a' non testée (sinon elle eut été sélectionnée, car sans a elle ne forme pas de cycle). Donc le poids de a est inférieur ou égal à celui de a' et $M' = (M \setminus \{a'\}) \cup \{a\}$ est encore minimal (en fait a et a' ont même poids). Donc $a \in M'$ minimal et l'invariant est conservé.

Donc :

KRUSKAL termine et renvoie un arbre couvrant minimal

Q 18.

```

int degre(struct Graphe g, int i){
    int n = g.V, d = 0;
    for(int j=0;j<n;j++){

```

```

        if(g.adj[i*n+j]>0) d++ ;
    }
    return d;
}

```

Q 19.

```

int* sommets_impairs(struct Graphe g, int* nb_sommets){
    int n = g.V;
    *nb_sommets = 0;
    int* sommets = malloc(n*sizeof(int));
    for(int i=0; i<n; i++){
        if (degre(g,i) %2 > 0){
            sommets[*nb_sommets]=i;
            (*nb_sommets)++;
        }
    }
    return sommets;
}

```

Q 20. En appelant J l'ensemble des nœuds de degré pair, le lemme des poignées de main stipule :

$$\sum_{v \in I} \deg(v) = - \sum_{v \in J} \deg(v) + 2|E|$$

D'où $\sum_{v \in I} \deg(v)$ est pair, et donc $|I|$ est pair.

Comme toutes les villes sont reliées entre elles, le graphe G du problème est complet. $G|_I = (I, \{\{x, y\} \in E, (x, y) \in I^2\})$ l'est donc aussi, et donc il existe bien des couplages parfaits dans $G|_I$. L'un d'eux est de poids minimal car c'est un ensemble fini.

$G|_I$ contient un couplage de poids minimal

Q 21. Chaque sommet de degré impair dans T est complété par une unique arête de M pour former H , donc tous les sommets de H sont de degré pair. D'où :

Il existe un circuit eulérien dans H

Q 22. Il suffit de parcourir le circuit en « sautant » les sommets déjà visités, sauf le premier et le dernier qui sont identiques par définition d'un circuit.

```

struct Chemin euler_to_hamilton(struct Chemin c){
    int ns = c.longueur;
    struct Chemin ch = alloue_chemin(ns); // chemin hamiltonien
    int ich = 0; // indice pour ch
    struct Chemin vu = alloue_chemin(ns); // pour gérer les doublons
    for (int i = 0; i < ns; i++){
        vu.l_sommets[i] = 0;
    }
    for (int i = 0; i < ns; i++){
        int s = c.l_sommets[i];
        if (vu.l_sommets[s] == 0){
            ch.l_sommets[ich++] = s;
            vu.l_sommets[s] = 1;
        }
    }
}

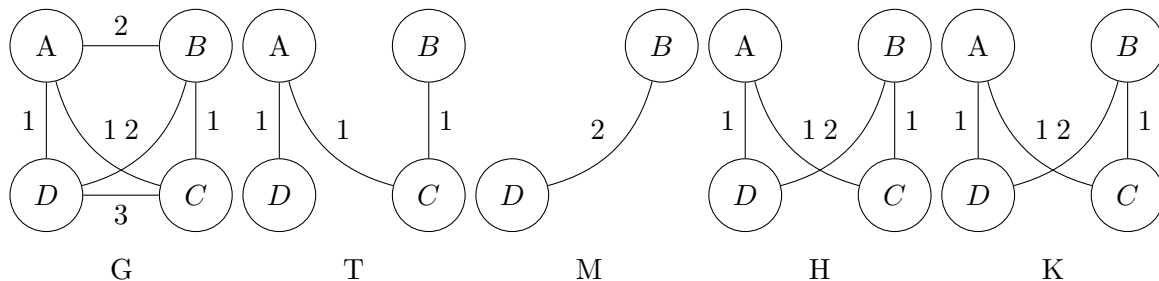
```

```

    ch.l_sommets[ich++] = c.l_sommets[0]; // le dernier
    libere_chemin(vu);
    ch.longueur = ich;
    return ch;
}

```

Q 23.



Le circuit eulérien est ici sans doublon, le circuit K est à la fois eulérien et hamiltonien car la dernière étape est sans effet.

Q 24.

```

struct Chemin christofides(struct Graphe g){
    struct Graphe t = kruksal(g);
    int ns;
    int *i = sommets_impairs(t, &ns);
    struct Graphe gi = graphe_induit(g, ns, i);
    struct Graphe m = couplage(gi);
    struct Multigraphe h = multigraphe(m, t);
    struct Chemin ce = eulerien(h);
    struct Chemin ch = euler_to_hamilton(ce);
    libere_graphe(t);
    libere_graphe(gi);
    libere_graphe(m);
    libere_multigraphe(h);
    libere_chemin(ce);
    return (ch);
}

```

Q 25. D'après **Q 21**, `eulerien` renvoie un cycle eulérien. Reste à montrer que `euler_to_hamilton` fonctionne correctement. Le chemin `ce` étant eulérien, il passe par toutes les arêtes de `h`, qui contient toutes les arêtes de `t`. Il contient donc toutes les sommets de `t`, donc de `g`. En supprimant tous les doublons (sauf le dernier qui ferme le circuit), on obtient bien un chemin hamiltonien de `g`.

Q 26. Soit respectivement n_s et n_a le nombre de sommets et d'arêtes de G . Les complexités des différentes fonctions sont :

- `kruksal` : $O(n_a \log(n_a))$. Le tri est en effet la tâche la plus complexe avec une structure union-find efficace.
- `sommets_impairs` : $O(n_s)$.
- `graphe_induit` : $O(n_s)$ car $G|_I$ est plus petit que G .
- `couplage` : polynomiale d'après l'énoncé (L'algorithme de LAWLER est en $O(n_a^3)$).
- `multigraphe` : $O(n_s + n_a)$.
- `eulerien` : $O(n_a)$.
- `hamiltonien` : $O(n_a)$.

Comme ces fonctions sont appelées en séquence, le résultat final est aussi polynomial en la taille de G .

Q 27. T est de poids inférieur ou égal au poids de U , car U privé d'une arête est un arbre couvrant, et T est un arbre couvrant de poids minimal.

Q 28. Soit $C = i_1 i_2 \dots i_{2p} i_1$ le circuit qui relie les sommets de l'ensemble I des sommets de degré impair dans T , dans l'ordre où on les rencontre en parcourant U . d'après l'inégalité triangulaire, $c(C) \leq c(U)$. Soit maintenant les deux couplages complémentaires $M_1 = \{\{i_1, i_2\}, \dots, \{i_{2p-1}, i_{2p}\}\}$ et $M_2 = \{\{i_2, i_3\}, \dots, \{i_{2p}, i_1\}\}$.

Par construction, $c(M_1) + c(M_2) = c(C)$. Soit enfin $c_{\min} = \min(c(M_1), c(M_2))$. Il vient $c(M) \leq c_{\min} \leq \frac{1}{2}c(C) \leq \frac{1}{2}c(U)$, ce qui achève la preuve.

Q 29. Comme les arêtes de la solution K renvoyée par l'algorithme de CHRISTOFIDES sont choisies dans $T \cup M$, $c(K) \leq c(T) + c(M)$. Donc $c(K) \leq \frac{3}{2}c(U)$.

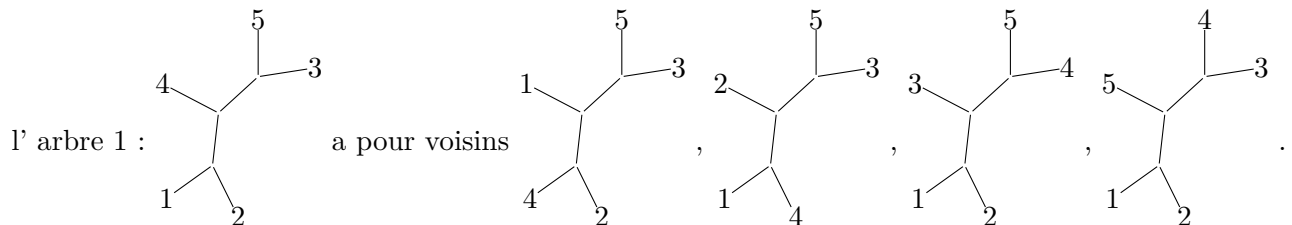
l'algorithme de CHRISTOFIDES est une $\frac{3}{2}$ approximation du problème du voyageur de commerce

Q 30. Ce n'est pas le cas sans l'inégalité triangulaire. L'exemple de la **Figure 1** en donnant un poids 100 pour l'arête $\{B, D\}$ fournit un contre exemple : Le circuit ACBDA trouvé par l'algorithme est de poids 103, alors que $c(ABCD A) = 8$ est optimal, et $103 > \frac{3}{2} \times 8$.

2 Espaces d'arbres

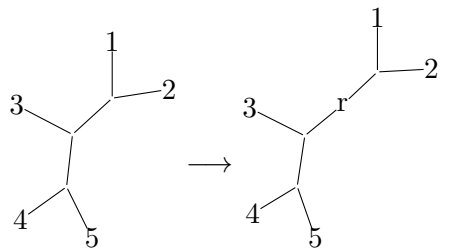
Q 31. Passer de l'arbre 1 à l'arbre 2 peut se faire en échangeant les sous arbre contenant 2 et 4 par un mouvement NNI sur la branche entre e et f.

Il y a 2 NNI possibles autour des 2 branches internes, soit 4 voisins en tout (à déformation près). La feuille 4 de l'arbre 1 peut être permutée avec n'importe laquelle des 4 autres :



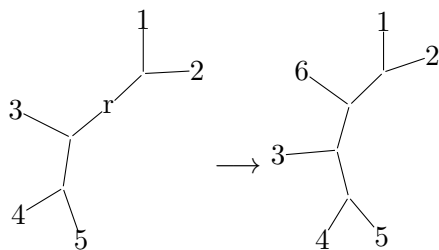
Q 32. Soit N et B le nombre de nœuds et de branches. Comme ce sont des arbres, $B = N - 1$. les feuilles étant de degré 1 et les nœuds internes de degré 3, le lemme de la poignée de main impose $n + 3(N - n) = 2(N - 1)$. D'où $\boxed{2n - 2 \text{ nœuds et } 2n - 3 \text{ branches}}$ par arbre.

Q 33. Pour créer un arbre raciné à n feuilles, il suffit de partir d'un arbre non raciné, de couper un branche en deux pour y insérer une racine(r) comme ci-dessous :



Comme il y a $2n - 3$ branches par arbre non raciné, on a bien $\boxed{|RB(n)| = (2n - 3)|B(n)|}$.

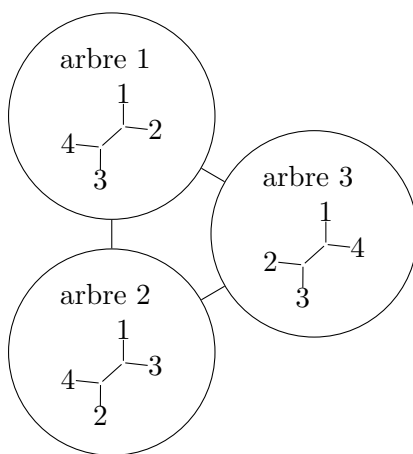
De même on passe d'un arbre raciné à un arbre non raciné en ajoutant une feuille à la racine :



D'où $\boxed{\forall n \geq 3, |RB(n)| = |B(n-1)|}$.

En regroupant ces deux équations, il vient $|B(n)| = (2n-5)|B(n-1)|$. Soit $|B(n)| = (2n-5) \times (2n-7) \times \dots \times 1$ ou encore $\boxed{\forall n \geq 3, |B(n)| = \prod_{i=0}^{n-3} (2k+1)}$.

Q 34. $G_{\text{NNI}}(4)$ est un graphe à $3 \times 1 = 3$ sommets :



Q 35. Il y a $2n-3$ branches dans un arbre de $B(n)$, dont n sont reliées à des feuilles, soit $n-3$ branches internes. Pour chacune de celle-ci, il y a 2 mouvements NNI possibles. Ainsi, un arbre possède $\boxed{2(n-3)}$ voisins dans $G_{\text{NNI}}(n)$, si $n \geq 3$.

Q 36. Une chenille est un arbre pour lequel aucun nœud n'est relié à trois branches internes.

- Appelons **tête** un nœud interne dont deux branches portent des feuilles, **articulation** un nœud relié à trois branches internes. Appelons **patte** un sous-arbre connecté à cette articulation. Soit e une branche liée à une articulation. Un mouvement NNI par rapport à e rapproche nécessairement une patte d'une tête. Tant que l'articulation existe, on peut déplacer celle-ci vers la tête. Lorsque la patte atteint la tête, elle disparaît. On peut ainsi faire disparaître toutes les articulations pour obtenir une chenille.
- Reste à remarquer que l'on peut passer d'une chenille à l'autre par NNI, car :
 - à chaque chenille est associée une permutation de $\llbracket 1 \dots n \rrbracket$ correspondant au chemin qui la définit ;
 - un mouvement NNI qui échange 2 feuilles sur une chenille correspond à une transposition ;
 - toute permutation se décompose en transpositions.

D'où : $\boxed{G_{\text{NNI}}(n)$ est connexe

Q 37.

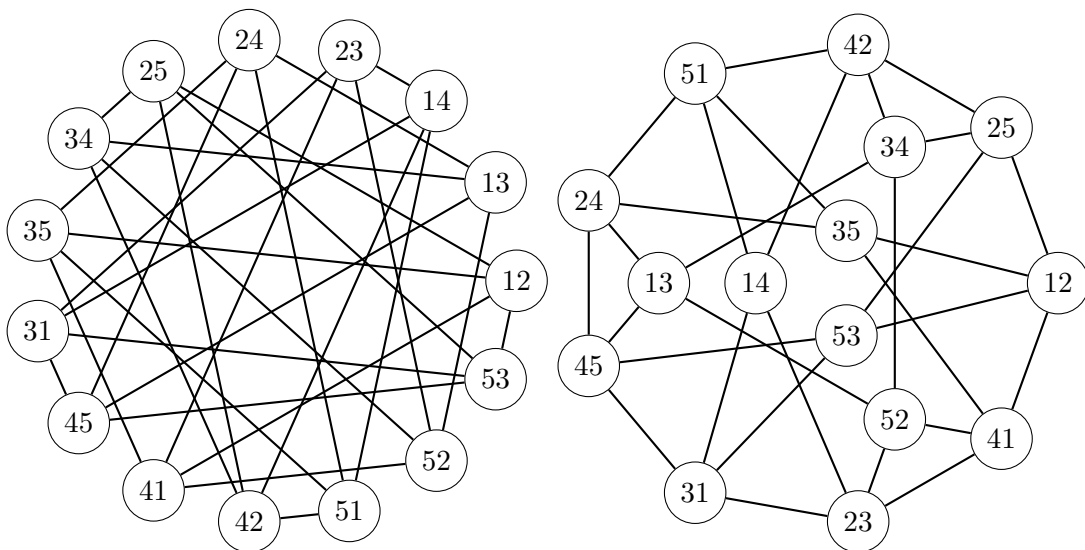
- Soit e et f les deux branches d'une transformation SPR. Tant que e et f ne sont pas adjacentes, il existe des branches internes les reliant, et donc un mouvement NNI permettant rapprocher e de f . La transformation SPR correspond à la suite des mouvements NNI qui font « glisser » e jusqu'à f .
- Un mouvement NNI est alors un mouvement SPR où e et f sont séparés par exactement une branche, comme en **Q 31**.
- Il en résulte que $G_{\text{NNI}}(n)$ est un sous-graphe de $G_{\text{SPR}}(n)$, ayant les mêmes sommets. Comme $G_{\text{NNI}}(n)$ est connexe, $G_{\text{SPR}}(n)$ est connexe.

Q 38. Les sommets de $G_{\text{NNI}}(5)$ sont les arbres de $B(5)$, il y a donc $5 \times 3 \times 1 = 15$ sommets d'après **Q 32**. Et d'après **Q 35**, chaque arbre à $2(5 - 3) = 4$ voisins.

Q 39. Comme tout les arbres de $B(5)$ se déduisent les uns des autres par permutation de feuilles, il suffit de raisonner sur un arbre particulier, l'arbre 5 dans la suite. Pour simplifier l'exposé, soit a l'étiquette centrale, associée au seul nœud n'ayant qu'une feuille (le 3 dans l'arbre 5). Tout mouvement NNI échange a et une autre feuille b , noté $a \leftrightarrow b$.

- Les cycles de longueur 3 correspondent aux suites de mouvements NNI qui échangent a avec les deux feuilles initialement du même côté de a . ($3 \leftrightarrow 1 \leftrightarrow 2 \leftrightarrow 3$ et $3 \leftrightarrow 4 \leftrightarrow 5 \leftrightarrow 3$ pour l'arbre 5). Il y a deux cycles de longueur 3 pour chaque arbre, les deux sens de parcours représentant le même cycle.
- Les cycles de longueur 5 correspondent aux suites de mouvements NNI qui donnent à a les 5 valeurs possibles. Il faut pour cela changer de côté à chaque fois. ($3 \leftrightarrow 1 \leftrightarrow 4 \leftrightarrow 2 \leftrightarrow 5 \leftrightarrow 3$, $3 \leftrightarrow 1 \leftrightarrow 5 \leftrightarrow 2 \leftrightarrow 4 \leftrightarrow 3$, $3 \leftrightarrow 2 \leftrightarrow 4 \leftrightarrow 1 \leftrightarrow 5 \leftrightarrow 3$, et $3 \leftrightarrow 2 \leftrightarrow 5 \leftrightarrow 1 \leftrightarrow 4 \leftrightarrow 3$ pour l'arbre 5). Il y a quatre cycles de longueur 5 pour chaque arbre.
- Pour 2 échanges successifs, il y a 4 choix pour le premier, puis 3 pour le second pour ne pas retomber sur l'arbre initial, soit 12 arbres accessibles en 2 mouvements. Comme il y a 15 arbres dans $G_{\text{NNI}}(5)$, deux ($15 - 12 - 1$) arbres sont inaccessibles en 2 mouvements, mais le sont en 3 mouvements.

Q 40. Pour simplifier le graphe, un arbre est dénoté par un nombre à deux chiffres ac : a représente l'étiquette centrale, c le voisin de $(a - 2) \bmod 5 + 1$ (les arbres 1,2 et 5 sont respectivement notés 45,24 et 31). Il suffit de tracer soigneusement les 6 arêtes reliant 12 à 25 et 35, 13 à 24 et 34, 14 à 23 et 31 : les 24 autres se tracent par rotation de $\frac{2k\pi}{5}$ sur la figure de gauche. La figure de droite représente le même graphe, les cycles y étant plus facile à observer.



On observe bien (à droite) que chaque nœud est inclus dans quatre pentagones, deux triangles, et seuls deux nœuds sont inaccessibles en deux « pas » : ($42 \rightsquigarrow 41$ et $42 \rightsquigarrow 45$ par exemple).

Q 41. et Q 42, Q 43, Q 44 : egaux est correcte par unicité de la représentation des arbres.

```

let rec feuilles = function
  Feuille x -> [x]
  | Noeud (a, b) -> feuilles a @ feuilles b

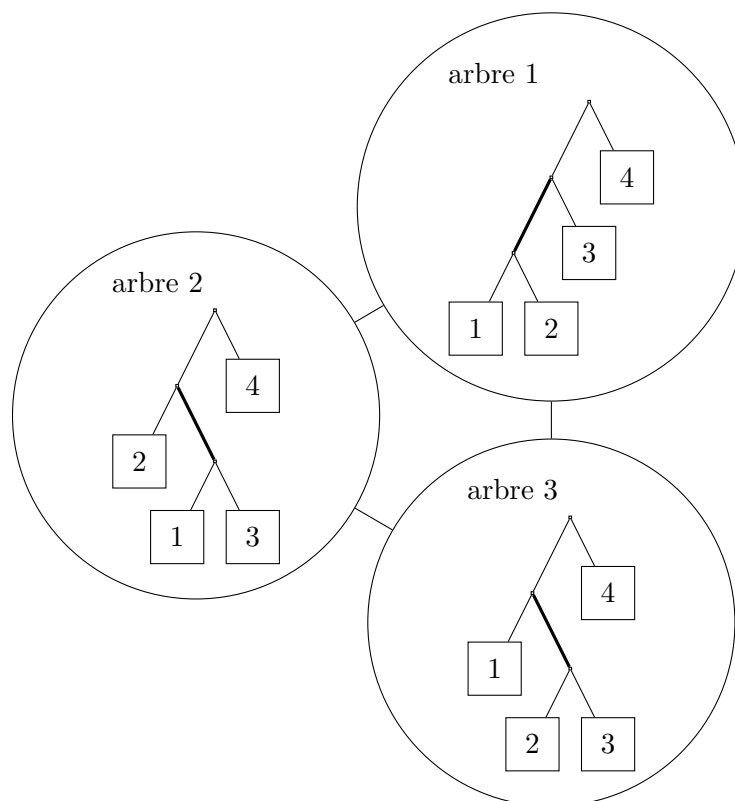
let rec degres (g:graphe) = match g with
  [] -> []
  | (_,l)::q-> List.length l :: degres q

let rec egaux a b = match (a, b) with
  Feuille x, Feuille y -> x = y
  | Noeud (ag, ad), Noeud(bg, bd) -> egaux ag bg && egaux ad bd
  | _ -> false

let rec appartient a = function
  [] -> false
  | b::q -> egaux a b || appartient a q

```

Q 45. Le graphe de la Q 34 est repris ci-dessous en version arborescente normalisée. Chaque étiquette représente ici un sous-arbre et la branche pour le mouvement NNI est en gras.



La partie de l'arbre contenant le sous-arbre 4 est toujours considérée fixe.

Il faut distinguer les transformations NNI, selon que l'échange se fasse selon une branche père-fils gauche (NNIG) ou père-fils droit (NNID).

Pour passer de arbre 2 ou arbre 3 vers arbre 1 sur la figure précédente (NNID), il faut savoir ordonner 1 et 2 dans arbre 1 pour garantir que la plus grande étiquette soit à droite. Les transformations inverses (NNIG) sont sans ambiguïté.

La fonction auxiliaire `nmax` détermine la plus grande étiquette d'un arbre (au fond à droite). Puis `nnig`, `nnid`, `nni` réalisent respectivement les transformations associées, et les deux quand c'est possible. Enfin `voisinsNNI` explore récursivement toutes les branches internes de l'arbre :

```

let rec nmax = function Feuille x -> x | Noeud(_, a)-> nmax a
let orderNoeud (a, b) = if nmax a < nmax b then Noeud(a, b) else Noeud(b, a)
let nnig (a, b) c = [Noeud(b, Noeud(a, c)); Noeud(a, Noeud (b, c))]
let nnid a (b, c) = [Noeud(b, Noeud(a, c)); Noeud(orderNoeud(a, b), c)]

let nni abr =
  (match abr with Noeud (Noeud(a, b),c)-> nnig (a, b) c | _ -> [])
  @ (match abr with Noeud (a, Noeud(b, c))-> nnid a (b, c) | _ -> [])

let rec voisinsNNI = function
  Noeud (g, d) ->
    List.map (fun g -> Noeud (g, d)) (nni g @ voisinsNNI g)
    @ List.map (fun d -> Noeud (g, d)) (nni d @ voisinsNNI d)
  | _ -> []

```

Q 46.

```

let rec chenille n =
  if n = 1 then Feuille 1 else
    Noeud (chenille (n-1), Feuille n)

```

Q 47. et Q 48.

```

let rec insere arbre (graphe:graphe) =
  match graphe with
  | [] -> [arbre, []]
  |(s,l)::q when egaux s arbre -> graphe
  |(s,l)::q -> (s,l) :: insere arbre q

let rec relie (graphe:graphe) arbre1 arbre2 =
  match graphe with
  | [] -> graphe
  |(s,l)::q when egaux s arbre1 && not (appartient arbre2 l)
    -> (arbre1, arbre2::l) :: relie q arbre1 arbre2
  |(s,l)::q when egaux s arbre2 && not (appartient arbre1 l)
    -> (arbre2, arbre1::l) :: relie q arbre1 arbre2
  |sl::q -> sl :: relie q arbre1 arbre2

```

Q 49. Les fonctions précédentes sont inutiles, car voisinsNNI a est la liste d'adjacence de a :

```

let rec construction fait afaire = match afaire with
  | [] -> []
  |arbre :: q when not (appartient arbre fait)->
    let vois = voisinsNNI arbre in
      (arbre, vois) :: construction (arbre :: fait) (q @ vois)
  | _ :: q -> construction fait q

let grapheNNI n = construction [] [chenille n]

```

construction termine car :

- le second cas de filtrage (`when not (appartient arbre fait)`) est appelé au plus $|B(n)|$ fois;
- le troisième cas de filtrage fait diminuer strictement $|afaire|$.

Et construction est correct car $G_{\text{NNI}}(n)$ est connexe, donc tous les voisins sont visités et la fonction renvoie le graphe complet.

Q 50. Supprimer la feuille $n - 1$ avec sa branche adjacente d'un arbre quelconque de S_i , puis la rajouter sur une branche quelconque de cet arbre (n choix possibles), c'est exactement la définition d'un mouvement SPR entre deux arbres quelconques de S_i . Deux arbres quelconques sont donc reliés. Donc $G_{\text{SPR}}(n+1)|_{S_i}$ est complet.

Q 51. $n \geq 4$ car il n'y a pas d'arêtes dans $G_{\text{SPR}}(3)$. Soit t_j l'arbre obtenu par SPR en utilisant deux branches nommées e et f, à partir de t_i . Soit t'_i et t'_j les arbres obtenus à partir de t_i et t_j par addition de l'étiquette (n+1) sur une branche g. Alors l'opération SPR sur les branches e et f appliquée à t'_i donne t'_j . Il y a donc au moins $2n - 3$ arêtes (au moins 5) entre S_i et S_j .
 S_i est relié à S_j dans $G_{\text{SPR}}(n+1)$ par des arêtes.

Q 52.

— **Initialisation :** $G_{\text{SPR}}(4) = G_{\text{NNI}}(4)$ est clairement hamiltonien (voir **Q 34**).

— **Hérédité :** Soit $n \geq 5$ et $G_{\text{SPR}}(n-1)$ hamiltonien. Par construction, $B(n) = \bigcup_{i=1}^n S_i$, et les S_i sont disjoints. On commence par connecter les S_i entre eux à l'aide des arêtes exhibées à la question précédente, en formant un cycle : c'est possible car $G_{\text{SPR}}(n-1)$ hamiltonien. puis les $G_{\text{SPR}}(n)|_{S_i}$ étant complets, il est simple de fermer le cycle dans chaque S_i .

donc $G_{\text{SPR}}(n)$ est hamiltonien